

T

SEMINÁRIO CIENTÍFICO DA FACIG

Sociedade, Ciência e Tecnologia

EFEITOS DA INIBIÇÃO DA AGREGAÇÃO PLAQUETÁRIA POR GLICOSAMINOGLICANOS EXTRAÍDOS DO MOLUSCO NODIPECTENS NODOSUS, NA ATIVIDADE ANTITROMBÓTICA

Christiano Lacerda Reis ¹, Mauro Pavão².

- ¹ Bacharelado Bioquímica e Analises Clínicas, Biomedicina, USS Universidade Severino Sombra, lacerdareis_clr@hotmail.com
- Doctor of Philosophy (Ph.D.), Bioquímica e Biologia Molecular, Bacharelado Biologia Marinha, UFRJ -Universidade Federal do Rio de Janeiro , mpavao@hucff.ufrj.br

Resumo- O presente trabalho concentrou-se no estudo de novos análogos de Heparina visando as propriedades anticoagulantes e antitrombóticas do heparam sulfato (HS), polissacarídeo sulfatado extraído de invertebrados marinhos, do molusco *Nodipecten nodosus*. Os polissacarídeos totais foram extraídos do molusco e fracionados por precipitação seletiva (concentrações de etanol). O principal componente (~90%) foi identificado como um HS, por eletroforese em gel de agarose, e o mesmo foi tratado com condroitinase AC e ABC e ácido nitroso. O HS do molusco é resistente à degradação por condroitinases, porém é clivado por ácido nitroso. Avaliando a potência anticoagulante do HS através do Tempo de Tromboplastina Parcial Ativada (aPTT) *ex vivo* observamos que ele atinge sua máxima ação em 5 minutos e esse efeito começa a ser revertido a partir de 15 minutos, diminuindo progressivamente até 60 minutos, apresentando atividade anticoagulante, sendo cerca de 5 vezes menor que a da heparina de mamífero, conforme quantificada pelo ensaio de tempo parcial de tromboplastina ativada. Em experimento de trombose venosa o heparam sulfatos inibiu em 50% o tamanho do trombo em relação ao do controle, constatando sua ação antitrombótica.

Palavras-chave: Glicosaminoglicanos, heparam sulfato, heparina, atividade anticoagulante, antitrombótico, agregação plaquetária, molusco *Nodipectens Nodosus*.

Área do Conhecimento: Bioquímica.

INTRODUÇÃO

1.1 Sistema Hemostático

É essencial para a vida humana, a manutenção do fluxo sanguíneo e mediante uma lesão vascular não haja perda excessiva de sangue, para isso o próprio sangue é o principal fornecedor de pró-proteínas, as quais sofrem uma mudança conformacional, para que haja uma mudança no seu estado, do estado líquido ao estado sólido, e é feita por uma rede de ativação e inibição enzimática, atenuando à perda excessiva de sangue (KENICHI, NIGEL & JERROLD, 2009), lesões nos vasos sanguíneos levam à ativação de um complexo mecanismo, sistema hemostático. O sistema hemostático é um mecanismo de defesa do hospedeiro que preserva a integridade do aparelho circulatório fechado, permitindo que os tecidos sejam reparados e as suas funções restabelecidas (FURIE & FURIE, 2007), havendo uma següência de reações locais culminando no controle da hemorragia, onde essas reações levam a uma resposta vascular, a uma hemóstase primária e a hemóstase secundária, impedindo

extravasamento de sangue no local da lesão (FRANCO, 2001).

A resposta vascular inicia-se mediante a uma lesão vascular, ocorrendo à constrição do vaso, esta ação imediata e transitória, permite uma redução do fluxo sanguíneo no local da lesão е a manutenção das superfícies endoteliais, esse mecanismo apresenta maior vasos da microcirculação, eficiência em envolvendo uma série de peptídeos como a endotelina que é um potente vasoconstritor liberado pelo endotélio, da bradicinina que aumenta a permeabilidade vascular e contrai as células musculares lisas e do fibrinopeptídeo B que é um segmento do fibrinogênio liberado mediante a ação da trombina.

A hemóstase primária é a formação do trombo plaquetário nos locais de lesão vascular, ocorrendo poucos segundos após a lesão. Os principais constituintes deste coágulo incluem, as plaquetas, leucócitos, incluindo granulócitos, monócitos, linfócitos e um polímero insolúvel de fibrina, que é formada a partir de uma proteína solúvel do plasma, denominada fibrinogênio, os monômeros de fibrina interagem entre si

através de interações eletrostáticas formando uma rede insolúvel, porém instável, de fibrina.

A consolidação deste polímero é feita pela ação do fator XIIIa, uma enzima que também é pela qual ativada trombina, а covalentemente, as moléculas de fibrina presentes na rede instável (MONROE, HOFFMAN & ROBERTS, 2002). Micro partículas, derivada de leucócitos e plaquetas, também circula no sangue, embora informações sobre o seu papel sejam limitadas. componentes desempenham um papel fundamental diversas formas de defesa, mas participam diretamente no processo hemostático. Em condições normais, circulam no sangue como inativo e componentes inertes (FURIE & FURIE, 2007). Após a lesão tecidual, o sistema é ativado. Em casos de lesão, a deposição de plaquetas e fibrina se inicia rapidamente em toda extensão da lesão (DAVID, FUJIKAWA & KISIEL, 1991).

1.2 Plaquetas

A plaqueta sanguínea ou trombócito é um fragmento de célula anucleada e de formato discóide presente no sangue, é formado na medula óssea a partir dos prolongamentos citoplasmáticos dos megacariócitos, conhecidos como pró-plaquetas. A sua principal função é a formação de coágulos, participando, portanto do processo de coagulação sanguínea (DAVID, FUJIKAWA & KISIEL,1991), estão presentes em altas concentrações no sangue (2,3 x 108 mL) e circulam no corpo humano durante sete dias (FREEDMAN & LOSCALZO, 2003).

Para que a plaqueta exerça seu papel na coagulação sanguínea, é de extrema importância a integridade de três componentes da função plaquetária: adesão, atividade e agregação, o início de todo esse processo ocorre quando há uma lesão vascular. A adesão plaquetário ao local da lesão vascular é feita por uma camada glicoproteínas presentes na membrana plasmática das plaquetas, mas em áreas não lesionadas essa camada de glicoproteínas impede a adesão plaquetária no endotélio normal (BEVERS, COMFURIUD & ZWAAL, 1983).

Havendo uma lesão vascular, é exposto às plaquetas circulantes no plasma, o colágeno, o fator tecidual (TF) entre outras células, iniciando então a fase de adesão mediada por receptores de adesão plaquetários, sendo esses: a glicoproteína VI (GPVI) que se liga ao colágeno e o complexo glicoproteína Ib-IX-V (GPIb-IX-V) ao fator de von Willebrand (FvW) (WALLACE, 2005, ANREWS et al.,1991), que forma uma ponte entre o receptor e as proteínas do subendotélio exposto (PLOW et al., 1995). O fator de Von Willebrand, expõe o

de ligação ao receptor GP lb-V-IX, receptor da plaqueta para o vWF e trombina, em vasos onde o fluxo sanguíneo é maior,ou seja, artérias (SAKAARIASSEN, BOLHUIS & SIXMA, 1979). O fator tecidual (TF) atua como um receptor e co-fator para FVII, e é expresso subendotelial nas camadas dos vasos sanguíneos e sobre as células, portanto, extravascular e só é exposta ao sangue, quando a vasculatura é interrompida (ROBERT, ligando-se as plaquetas, fazendo com que sofram uma mudança conformacional, aderindose ao sítio agredido, tornando-se esféricas e emitindo pseudópodes, formando um agregado no local, impedindo temporariamente a perda de sangue (ROBERT, 2006).

As ligações da glicoproteína GPVI com o colágeno e do complexo GPIb-IX-V com o FvW exercem um aumento de expressão das integrinas plaquetárias, incluindo integrinas α2β1 que se ligam ao colágeno, e integrinas α2β3 que se ligam ao fibrinogênio ou ao FvW, mediando a agregação plaquetária.Uma vez a plaqueta aderida, ela sofre a ação de agonistas plaquetários, incluindo o próprio colágeno, a trombina e a epinefrina, que inicia à ativação das plaquetas. Esses agonistas ligam receptores da membrana das plaquetas e ativam cascatas de coagulação (PLOW et al., 1995; WATSON, 1999). Ocorre, então, a secreção conteúdo dos grânulos plaquetários, Lisossomas (endoglicosidases e enzima clivagem da heparina), os grânulos densos (cálcio, serotonina, ADP, ATP e pirofosfato) e grânulos α (FvW, factor plaquetário 4, factor de crescimento derivado das plaquetas - tromboglobulina, trombospondina, (PDGF), fibronectina) (BERTINA et al., 1994).

O colágeno presente no subendotélio faz a adesão plaquetária, mediada pelo receptor GP la-Ila, receptor da fibrila de colágeno (específico para a plaqueta). Além disso, o colágeno também é capaz de induzir a ativação das plaquetas. Esse processo é mediado pelos receptores GP IV e GP VI (WATSON,1999). As plaquetas são também ativadas por agonistas específicos, tais como o ADP, o fator de ativação plaquetária (PAF), a _-trombina e o tromboxano A2, que são secretados pela própria plaqueta ou no local da lesão vascular. O fibrinogénio liga-se à glicoproteína Ilb/Illa agregando as plaquetas entre si num trombo hemostático (BRASS, 1995).

1.3 Coagulação Sanguínea

Reações de proteases plasmáticas inativas ou zimogênios estão envolvidas na coagulação sanguínea, na formação de um polímero insolúvel fibrina, que apresenta um

papel fundamental na coagulação sanguínea, estabilizando o agregado de plaguetas formado no local da lesão vascular, por meio de proteólise (DAVID, FUJIKAWA & KISIEL, 1991). A trombina promove a formação de coágulos através da clivagem de fibrinogênio em fibrina, as plaquetas, estimulam a agregação, a secreção, e ativa certas proteínas (Fatores V, VIII e XI) na montagem da cascata de coagulação. trombina também tem vários efeitos nas células endoteliais vasculares, células musculares lisas e monócitos / macrófagos que podem ser importante na reparação tecidual em lesões ou no desenvolvimento de aterosclerose (LI HE et al., 2008).

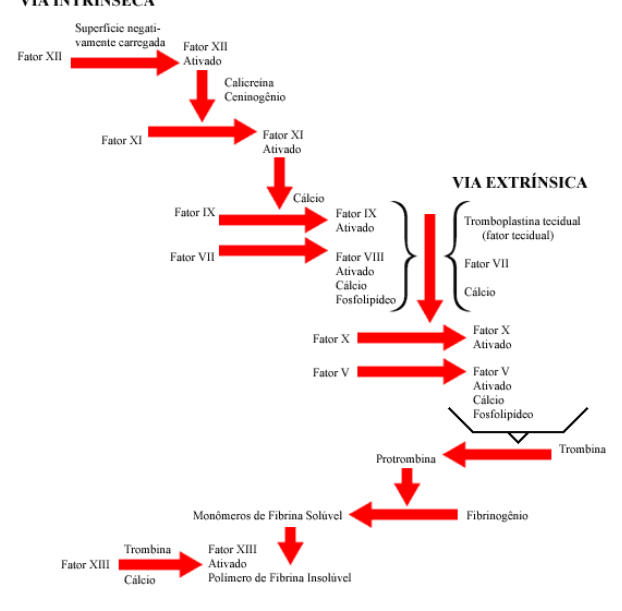
Em 1964, Macfarlane e Davie Ratnoff propuseram a hipótese da "cascata" para explicar a fisiologia da coagulação do sangue. A cascata de coagulação é geralmente dividida em duas vias para a conveniência de discussão e análise dos fatores da coagulação. As vias intrínsecas e extrínsecas podem ser potencializadas separadamente, mas fundem-se num caminho comum que leva ao FIIa (ERWIN, 2009). Por apresentar uma série de acopladas (Figura 1), as vias extrínsecas e intrínsecas não devem consideradas ser isoladamente in vivo, mesmo havendo evidências de que a via intrínseca é crucial a manutenção e desenvolvimento do coagulo, a via extrínseca é necessária para o início da formação do coagulo. Atualmente, considera-se que a coagulação sanguínea é disparada pela via do fator tecidual (TF) (DAVID, FUJIKAWA & KISIEL, 1991). O fator é uma lipoproteína presente tecidual superfície de células que não está diretamente em contato com o sangue, como fibroblastos e macrófagos. Com estimulo as endoteliais expressam TF (GAILANI & BROZE, 1993). O início da coagulação se da mediante o contato do plasma com células expressas na lesão vascular.

O fator tecidual se liga ao fator VIIa, formando o complexo tenase extrínseco que converte o zimogênio fator X em uma serinoprotease ativa, o fator Xa. Este se dissocia do complexo tenase e se associa ao fator Va, íons cálcio e superfícies celulares para formar o complexo protrombinase, que ativa o zimogênio serino-protease protrombina na trombina (SEGERS, DAHLBACK &NICOLAES, 2007). O complexo XIIa catalisa a ativação do fator IX em fator IXa. O fator IXa forma um complexo com seu cofator, o VIIIa, fosfolipídios e cálcio, denominado "tenase intrínseco". Esse complexo ativa o fator X de forma idêntica ao "Tenase extrínseco", porém, apresentando uma maior eficiência

catalítica (AHMAD, RAWAALA-SHEIKH WALSH, 1992).

O fator X se associa com o fator Va na superfície de plaquetas ativadas, numa reação dependente de cálcio, formando complexo protrombinase. Esse complexo passa a ser o responsável pela ativação da protrombina em trombina (DAVID, FUJIKAWA & KISIEL, 1991).

Figura 1. Diagrama simplificado da cascata de coagulação, mostrando intersecção das vias intrínseca e extrínseca



Fonte: www.diagnosticobucal.com.br/trabalhos

A coagulação sanguínea é amplifica por um mecanismo de feedback positivo mediado por trombina, ativando o fator V, VIII, XI e XIII e outras funções biológicas são associadas a trombina uma vez que ela possui alvos específicos em diferentes tipos celulares (DAVID, FUJIKAWA & KISIEL, 1991). A trombina é um potente agonista plaquetário, que promove а mudanca conformacional da plaqueta e a liberação de outros ativadores como ADP, como serotonina e o tromboxano A2, por meio da clivagem de receptores do tipo PAR. Além disso, a trombina é capaz de induzir a exposição da molécula de adesão Pselectina e do ligante CD40 na superfície de plaquetas ativadas além de ativar a integrina IIb/ 3 (DAVID, FUJIKAWA & KISIEL, 1991).

1.4 Trombose

A necessidade de melhores cuidados com a saúde cardiovascular no mundo inteiro grande e crescente. Algumas estatísticas dão uma idéia da escala. Segundo os Centros de Controle de Doenças, 23 milhões de pessoas foram diagnosticadas com problemas cardíacos em 2001, impulsionando o uso de quase dois milhões stents e mais de 200.000 implantes de válvulas de coração. Neste mesmo ano, 700.142 pessoas morreram nos Estados Unidos devido às doenças cardiovasculares, tornando-se uma das principais causas de morte (ERWIN, 2009). A trombose venosa profunda (TVP) dos membros inferiores é bastante

frequente, com incidência estimada de 0,6 a 0,9 casos por 1000 habitantes por ano. Sua complicação mais temida é a embolia pulmonar responsável pela morte de 200.000 pacientes por ano (AMERICAN HEART ASSOCIATION, 2009). A incidência de TVP e de EP aumenta na razão direta da idade. Nos pacientes na faixa etária de 60 anos, a incidência pode oscilar em torno de 30 a 35%, enquanto nos pacientes acima de 70 anos gira ao redor de 50 a 70%, quando não se submetem a qualquer tipo de tratamento profilático. A trombose arterial é um evento extremamente comum que afeta cerca de 50% da população. Ela responsável pelas doenças principal cardiovasculares, como doença da artéria coronária. infartos

artéria coronária, infartos do miocárdio e doenças de artérias periféricas (SURESH, 2009). No Brasil, dados do Ministério da Saúde mostram que essas doenças são responsáveis por 28% de óbitos. Estimativas indicam que, em 2020, as doenças aterotrombóticas serão as causas de morte de maior frequência em todo mundo (LLOYD-JONES et al., 2010).

Virchow (1956) postulou três principais causas para a trombose: mudanças na parede vascular (trauma), na composição do sangue (hipercoabilidade) ou no fluxo sanguíneo (estase). Os fatores de risco adquiridos para a trombose venosa incluem imobilização, cirurgias, traumas, gravidez, lúpus, doenças malignas e hormônios femininos (reposição hormonal e uso de contraceptivos orais) (MACKMAN, 2008).

Os fatores de risco da trombose diferem dos da trombose venosa. arterial Incluem fatores como o tabagismo, hipertensão, hiperlipidemia e diabetes miellitus. Normalmente, a trombose arterial é iniciada pela ruptura de placa ateroesclerótica que dispara uma cascata eventos mediados por plaquetas, que resultam na formação de um trombo rico em plaquetas (MACKMAN, TILLEY & KEY, 2007). A composição dos trombos nas tromboses venosa e arterial também é diferente. Na trombose venosa, há a formação de um trombo rico em fibrina e hemácias enquanto que, na arterial, o trombo é formado por fibrina e plaquetas. Essas condições diferem, pois veias e artérias são diferentes na estrutura e na velocidade do fluxo sanguíneo (mais rápido nas artérias) (VIRCHOW, 1856).

As drogas utilizadas no tratamento da trombose podem ser divididas em três categorias

básicas: os anticoagulantes, os trombolíticos e os agentes antiplaquetários. Entre os anticoagulantes, encontra-se a heparina não-fracionada, as heparinas de baixo peso e o warfarin. No grupo dos trombolíticos, podem ser citados a estreptoquinase e o ativador de plasminogêneo tecidual. Já entre os antiplaquetários estão à aspirina, a ticloplidina, clopidrogel, entre outros.

1.5 Glicosaminoglicanos

Há muito os glicosaminoglicanos (GAGs) vêm despertando interesse clínico em todas as da medicina, por apresentar importante papel no reconhecimento celular, na na proliferação migração, е diferenciação celular, estariam direta indiretamente ou envolvidos com tumores. metástases. reações imunológicas, angiogênese, desenvolvimento folicular e infertilidade, entre outros (LOPES, DIETRICH & NADER, 2006).

De forma geral, os GAGs contribuem para a estrutura e as propriedades de permeabilidade do tecido conjuntivo, bem como guia para enzimas e fatores de crescimento tanto na matriz quanto na superfície das células (CECHOWSKA-PASKO, PALKA & BANKOW,1996).

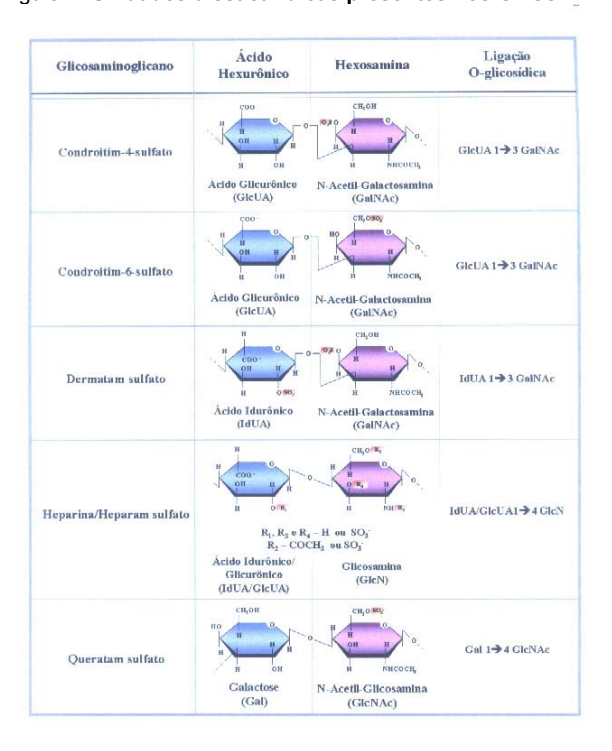
glicosaminoglicanos (GAGs) são Os heteropolissacarídeos lineares, compostos por unidades dissacarídicas repetidas, de um ácido hexurônico (açúcar ácido) e uma hexosamina (açúcar aminado) (Figura 2), presentes em células animais todas as com diferenças estruturais dependendo do tecido do ou organismo de origem (CECHOWSKA-PASKO & PALKA. 2000). Quase todos glicosaminoglicanos (condroitim / dermatam sulfato, heparina, heparam sulfato e queratam sulfato) contêm grupamento sulfato em suas unidades dissacarídicas ao longo da molécula, exceção do ácido hialurônico, grupamentos sulfato associados carboxila do ácido hexurônico conferem aos glicosaminoglicanos uma alta densidade de carga negativa.

Esse caráter aniônico permite que esses polímeros interajam com vários tipos moléculas, como: fatores de crescimento, enzimas, proteínas de superfície proteínas plasmáticas entre outras (CONRAD, 1998; WODARZ & NUSSER, 1998), modulam processos biológicos, diversos angiogênese, desenvolvimento. crescimento axonal, progressão do câncer, patogênese microbiana. hemostase. dentre outros (SASISEKHARAN, RANAN & PRABHAKAR, 2006).

Os GAGs diferem entre si na composição dissacarídea básica, grau e posição da

sulfatação, podem ser classificados de acordo com o tipo do ácido hexurônico (ácido glucurônico ou ácido idurônico), pelo tipo da hexosamina (glucosamina ou galactosamina), e pelo tipo de ligação glicosídica. De acordo com os monossacarídeos constituintes e o tipo das ligações glicosídicas, os GAG podem ser divididos em 4 grupos principais: 1: Ácido Hialurônico, 2: Queratam sulfato, 3: Heparam sulfato e heparina, 4: galactosaminoglicanos (condroitim sulfato e dermatam sulfato) (CONRAD, WODARZ & NUSSER, 1998).

Figura 2: Unidades dissacarídicas presentes nos GAGs



Os GAGs são formados por uma hexosamina e um ácido hexurônico. O queratam sulfato apresenta galactose no lugar do ácido hexurônico, ao passo que o ácido hialurônico não apresenta grupamentos sulfato (GOMES, 2010). O ácido hialurônico possui a estrutura mais simples de todos os GAGs, sendo o único não sulfatado. É constituído de unidades dissacarídicas de GIcUA e GalNAc. O queratam sulfato é o único GAG que não apresenta ácido idurônico, sendo suas unidades dissacarídicas compostas por GalNAc e um açúcar neutro, a galactose. Ambos os resíduos podem estar sulfatadas na posição 6, dando origem a unidades mono e dissulfatadas (HASCALL & RIOLO, 1972).

A heparina e o heparam sulfato possuem a mesma estrutura dissacarídica repetitiva básica, constituídas por (4-_-D HexUA-1 -> 4- _-DGlcNAc- 1)n. Essas

unidades sofrem extensas modificações no decorrer da biosíntese do polímero (LINDAHL et al, 1989). A heparina é extensivamente Nsulfatada, rica em ácido idurônico e grupamentos O-sulfato(2,3 - 2,8 sulfatos por dissacarídeo), enquanto que o heparam sulfato possui uma quantidade de regiões N-acetilada (0,6 - 1,5 sulfatos por dissacarídeo) (DREYFUSS et al.,2009).

A estrutura do condroitim sulfato (CS) consiste em dissacarídeos contendo glicurônico (GlcUA) e N-acetilgalactosamina dissacarídeos do CS podem (GalNAc). Os estar sulfatados nas posições 4 ou 6 da Nacetilgalactosamina. е não apresentam. normalmente, sulfatação no ácido glicurônico. dermatam (DS) sulfato а unidade dissacarídica repetitiva é composta por um ácido idurônico, e uma GalNAc. O ácido hexurônico também pode ocorrer sob a forma de ácidos glicurônico e os dois isômeros podem ocorrer na mesma cadeia. Com exceção do ácido hialurônico, todos os GAGs são encontrados na natureza ligando covalentemente a cadeias polipeptídicas, formando proteoglicanos (PGs). Os PGs apresentam uma grande diversidade estrutural, resultante de tipo e da quantidade de cadeias de GAGs presentes nas cadeias polipeptídicas.

Geralmente as cadeias de GAGs sulfatados estão ligadas covalentemente por uma ligação O-glicosídica a um resíduo de serina da cadeia polipeptídica. O alongamento da cadeia de GAG é feito a partir de um tetrassacarídeo que forma a região de ligação com a cadeia peptídica. Este tetrassacarídeo é formado por xilose, galactose, e ácido glicurônico e está presente na maioria dos PGs, com exceção do PG de queratam sulfato.

Os PG estão em vários órgãos e tecidos, sendo encontrados na matriz extracelular, inserindo na membrana plasmática ou em grânulos intracelulares (DREYFUSS et al., 2009).

1.6 Heparam Sulfato e Heparina

1.6.1 Heparam Sulfato

O heparam sulfato é encontrado em praticamente todos os tecidos, sob a forma de diferentes tipos de proteoglicanos (PGHS) presentes na superfície celular, na matriz extracelular (MEC) e membrana basal (JIN-PING & ISRAEL, 2009), e são expressas e secretadas pela maioria, senão todas, as células de mamíferos, e compreende 50 a 90% do total de proteoglicanos endoteliais (IHRCKE WRENSHALL & LINDMAN, 1993).

De todos os membros da família de GAGs este é o que apresenta maior variabilidade

estrutural, onde o acido hexurônico pode ser glicurônico ou idurônico, alem disso a glucosamina pode estar N-acetilada,N-livre ou N-sulfatada, seu tamanho pode variar de 5 a 70 KDa (TURNBULL, POWELL & GUIMOND, 2001), possui uma maior quantidade de regiões N-acetiladas não modificadas (LINDAHL, 1989). Nos tecidos de vertebrados e invertebrados são essenciais nos processos de adesão da célula à matriz, nos sistemas de reconhecimento de célula-célula, na ligação a fatores de crescimento e quimiocinas, entre outros.

1.6.2 Heparina

A heparina foi descoberta em 1916, e tem sido usado clinicamente como um anticoagulante desde 1935 (RABENSTEIN, 2002).

heparina é um polissacarídeo sulfatado linear constituído por unidades dissacarídicas repetitivas majoritariamente ácido idurônico 2-O-sulfatado e glicosamina N-sulfatada (DAY, 1985) e, por pertencente isso. é à família dos glicosaminoglicano. Devido ao seu grande conteúdo de grupos negativos como a carboxila e grupamentos sulfato, a heparina contém a maior densidade de carga negativa dentre todas as macromoléculas biológicas. Normalmente, essa molécula apresenta uma média de 2.7 grupamentos sulfato. O grupamento amino da glicosamina pode ser substituído grupamento acetil (Ac), por um sulfato (SO3) ou não ser substituído. As posições 3 e 6 da glicosamina também podem ser substituídas por grupos O-sulfato. A heparina tem um peso molecular que varia de 5 a 40 kDa, com uma média de peso de 20 kDa. Durante sua biosíntese, moléculas de heparina ligam-se a fragmentos de serina presentes em um esqueleto protéico, formando o proteoglicano serglicina, encontrado em mastócitos e algumas células hematopóieticas (LINHARDT, 1997).

A heparina e seus derivados de baixo peso molecular são os anticoagulantes mais usados na clinica médica. A heparina é administrada intravenosamente (heparina baixo peso molecular pode ser administrada também intravenosamente ou subcutaneamente, versatilidade terapêutica) aumentando sua durante maioria dos procedimentos extracorpóreos (quando o sangue é removido do corpo e passa através de um aparelho) como diálise do rim (WEITZ, 1997) e procedimentos de transplantes cardíacos.

A ação anticoagulante da heparina se dá pela formação de um complexo heparinaantitrombina (AT) que inibe a trombina (Fator IIa) e os fatores Xa, IXa, XIa e XIIa (ROSENBERG, 1977). A trombina humana é cerca de 10 vezes mais sensível para inibição pelo complexo heparina-AT do que o fator Xa. Para inibir a trombina, a heparina deve ligarse tanto à enzima coagulante quanto a AT, porém a ligação com a enzima não é necessária para a inibição do fator X ativado (BOURIN & LINDAHL, 1993). A antitrombina glicoproteína com peso molecular de 58 KDa, intetizada pelo fígado. Está presente no plasma numa concentração de aproximadamente 2,6 □M e é o principal inibidor fisiológico da trombina (BOURIN & LINDAHL, 1993). Moléculas de heparina contendo menos de 18 polissacarídeos não se ligam simultaneamente com a trombina e a AT são desta forma, incapazes de catalisar a inibição de trombina. Em contraste, fragmentos de heparina muito pequenos, contendo uma següência pentassacarídica de alta afinidade catalisam a inibição do fator Xa pela (LINDAHL et al., 1989). Inibindo a a heparina trombina, não SÓ previne formação de fibrina, mas também inibe a ativação induzida por trombina dos fatores V e VIII (LIAW et al., 1999). O uso de aparelhos que requerem heparinização, como aparelhos de circulação extracorpórea, utilizados em cirurgias cardíacas e em hemodiálise pode geralmente levar a uma complicação hemorrágica, devido a concentrações de heparina aplicada no paciente, e o principal efeito da heparina, na circulação extracorpórea é a inibição formação da fibrina a partir do fibrinogênio. A heparinização sistêmica é também usada no tratamento de trombose venosa profunda e variedade de outros procedimentos numa cirúrgicos (CASU, 1989).

1.6.3 Efeitos Colaterais da Heparina

O efeito colateral mais frequente é a hemorragia, que pode ocorrer em 1 a 37% dos pacientes operados utilizando heparina, a redução da pressão arterial e da resistência vascular a 20% periférica em cerca de 10 sem afetar o débito cardíaco pacientes, (SELTZER & GERSON, 1979), e a elevação dos níveis de lipoproteínas plasmáticas, são outros efeitos causado pela utilização continua da (OLIVERCRONA & heparina BENGTSSON, alterações 1989). Algumas da resposta imunológica do organismo podem relacionadas à presença da heparina. atualidade, a atenção dos perfusionistas se concentra em dois efeitos colaterais capazes produzir de complicações severas: resistência à heparina e a trombocitopenia induzida pela heparina. A resistência heparina consiste na necessidade de doses crescentes da droga para a obtenção do mesmo efeito anticoagulante (JAQUES & MAHADOO, 1978), a trombocitopenia induzida por heparina é um processo complexo que resulta na perda de plaquetas, levando a uma hemorragia (RABENSTEIN, 2002).

Os pacientes que recebem tratamentos prolongados com heparina podem apresentar resistência à heparina, causada por redução dos níveis de ATIII (JAQUES, 1978).

1.6.4 Crise Mundial da Heparina

No ano de 2008, surgiram vários casos de efeitos adversos em pacientes submetidos à heparinoterapia. sendo esses. desmaios. taquicardia, urticárias, náuseas e, em alguns casos. sintomas mais severos. Alem Estados Unidos que apresentou mais de 100 mortos, alguns países da Europa e Ásia relataram o mesmo problema, alertando o mundo todo. Autoridades americanas iniciaram investigação observaram e que hipersensibilidade relatada estava associada lotes de heparina produzidos Companhia Baxter Healthcare (ROCKVILLE, 2008), resultando na retirada de nove lotes de heparina do mercado, o mesmo ocorreu em outros países como na Alemanha que também retirou lotes de heparina devido a mais relatos de reações adversas. A Food and Drug Administration (FDA) recomendou que todas as empresas distribuidoras de heparina analisassem seus lotes, revelando uma contaminação na heparina em, pelo menos, doze países.

Guerrini e colaboradores, em 2008, através de análises de ressonância magnética nuclear, identificaram que o contaminante presente nas preparações de heparina se tratava de um condroitim sulfato *oversulfatado* (OSCS), contendo quatro sulfatações por dissacarídeo. Estudos mostraram que o OSCS era capaz de induzir a formação de proteínas do sistema complemento como C3a e C5a, levando então a possível choque anafilático a ativação do sistema cinina-calicreína, resultando na produção de bradicinina, potente vaso mediador, gerando uma hipotensão no paciente.

A ativação de pré-calicreína em calicreína é mediada pelo fator XII, que pode ser ativado por superfícies carregadas negativamente, como o OSCS, fosfolipídeos e células endoteliais lesadas (KISHIMOTO et al., 2008). Devido a esses fatores, torna-se cada vez mais evidente a necessidade de obter fontes alternativas de heparina.

1.7 Nodipecten nodosus

O invertebrado marinho *Nodipecten nodosus*, é um molusco bivalve pertencente ao filo Mollusca, classe bivalve, ordem Ostreoida, família

Pectinidae, gênero Nodipecten, esses animais são conhecidos como vieiras, "coquilles Saint-Jacques" e como "scallops" (Figura 3). São cultivados em fazendas aquáticas no litoral brasileiro como em Angra dos Reis e na Praia Grande do Bonete, Ubatuba, Estado de São Paulo. Muito apreciado na culinária mundial, onde é utilizando principalmente o músculo e as gônadas, e as vísceras são descartadas. A maricultura é um segmento do agronegócio que se encontra em franca expansão. moluscos, o cultivo de vieiras (pectinicultura) cresceu mais de 10% na última década, com a produção mundial passando de 1.153.465 toneladas em 1995 para 1.274.843 toneladas em 2005 (BUENO, MARQUES & ROMA, 2010).

Na América do Sul, o Chile apresenta-se como um país pioneiro relação em trabalhos de cultivo de pectinídeos. No Brasil, os coquilles têm se apresentado com um potencial para cultivo, 0 principalmente a sua excelente receptividade no mercado interno e externo. A pectinicultura iniciou-se no Japão em 1935 e o sucesso da atividade naquele país despertou o interesse de outras nações que, a partir da década de 70/80, passaram a empregar as técnicas básicas desenvolvidas no Japão (BUENO, MARQUES & ROMA, 2010). A espécie N.nodosus por apresentar um elevado valor de comercialização mundial, no Brasil apresentou grande potencial para maricultura. Instituto de Ecodesenvolvimento da Baía de Ilha Grande (IED-BIG), organização governamental patrocinada pela Eletrobrás e Petrobras, desenvolve o cultivo de N.nodosus desde 1991. Esse cultivo inclui a produção de larvas e pós-larvas em laboratório e cultivo em fazendas marinhas. Esses moluscos doados aos moradores da ilha grande em Angra dos Reis, como uma nova fonte de renda que pode ajudar a quem antes dependia só da pesca e ainda preservar o meio ambiente. Os franceses fizeram dos coquille um quitute incluindo também a ova em seus pratos, os japoneses e norte-americanos consome somente o músculo e as gônadas, as vísceras são descartadas.

Figura 3: Invertebrado marinho Nodipecten nodosus, filo Mollusca, classe bivalve, ordem Ostreoida, família Pectinidae, gênero Nodipecten



Fonte: QUEIROZ (2005).

Devido aos problemas causados pela heparinoterapia, como hemorragias entre outras reações, o Laboratório de Tecido Conjuntivo da Universidade Federal do Rio de Janeiro busca análogos de heparina em invertebrados marinhos. Ha muitos artigos hoje falando sobre a presença de análogos de heparina em diversos moluscos. Trabalhos anteriores (GOMES et al., 2010) mostraram que há grandes concentrações de heparinoides nas vísceras do *N. nodosus*.

METODOLOGIA

4.1 Modelo Animal

Os experimentos envolvendo animais foram realizados utilizando-se Ratos Wistar (ambos os sexos) pesando entre 200 e 250g. Todos os experimentos envolvendo animais foram realizados de acordo com as normas do COBEA (Colégio Brasileiro de Experimentação Animal), Segundo Vogel e Vogel (1989) e do Committee on Animal Research and Ethics (CARE), e dos aprovados pelo comitê de ética do Centro de Ciências da Saúde / Instituto de Bioquímica Médica da UFRJ (IBqM 2004).

4.2 Coleta

Os espécimes de *N.nodosus* foram fornecidos pelo *Instituto de Ecodesenvolvimento da Baía da Ilha Grande* (IEDBIG), responsável pelo cultivo da espécie em fazendas marinhas no município de Angra dos Reis, RJ.

4.3 Polissacarídeos Sulfatados

O experimento previamente desenvolvido em nosso laboratório constatou uma grande concentração de Heparam Sulfato nas vísceras do molusco *N.nodosus* que foram removidas e submetidas ao processo de extração (PAVÃO et al., 2007).

4.4 Isolamento do Polissacarídeo

4.4.1 Extração de Polissacarídeos *N.nodosus*.

As vísceras previamente secas (25g) sofreram digestão proteolítica com papaína (20%), em 500 mL de tampão Acetato de Sódio 100 mM, pH 5,5, contendo EDTA 5 mM e cisteína 5 mM. Após 18 horas a 60 °C, o produto da digestão foi centrifugado a 5.000 rpm por 10 minutos. O material precipitado, contendo restos teciduais. foi novamente sob as mesmas condições descritas anteriormente. Este processo de digestão proteolítica foi repetido por três vezes. Visando uma pré-purificação dos polissacarídeos sulfatados com Cloreto de cetilpiridina (CPC) 0,5% e etanol absoluto, CPC10% foi adicionado ao sobrenadante de cada digestão proteolítica, a fim de atingir uma concentração de 0,5%. Após 24 horas à temperatura de 4 °C, a mistura foi centrifugada a 5.000 rpm, por 10 minutos. O sobrenadante foi desprezado e o precipitado (Pellet) lavado com água destilada e centrifugado a 5.000 rpm, por 10 minutos e o pellet foi então solubilizado em 50 mL de uma solução de NaCl 2M e etanol (100:15, v/v) e, a esta solução foi adicionado 100mL de etanol absoluto. Após 24 horas, a 4 °C os polissacarídeos precipitados foram recolhidos por centrifugação a 5.000 rpm, 10 minutos e o sobrenadante descartado. Os polissacarídeos totais obtidos foram secos em estufa a 60 °C.

4.4.2 Purificação do Heparam Sulfato de N.Nodosus

Os polissacarídeos totais do molusco foram submetidos a uma precipitação seletiva para purificar o heparam sulfato, a precipitação seletiva sucintamente significa a separação dos compostos por diferentes concentrações de etanol.

4.2.3 Precipitação Seletiva

polissacarídeos totais Os solubilizados em água destilada, deixando o material bem diluído com um volume de 50 mL, é feita uma precipitação de 75% de etanol absoluto e 2% de NaCl, essa solução é resfriada a 4 °C por 18 horas, é separado um polissacarídeo por centrifugação a 5.000 rpm, o pellet (P1) é seco a 60 °C, no sobrenadante é adicionado um volume de etanol absoluto atingindo uma concentração de 90%, essa solução é resfriada a 4 °C por 18 horas, é formado um pellet (P2)separado por uma centrifugação a 5.000 rpm, que é levado para secar a 60 °C, o sobrenadante é adicionado duas vezes o volume de etanol que forma um pellet (P3), os pellets das precipitações foram solubilizado em água destilada e os polissacarídeo são analisados por eletroforese em gel de agarose.

4.5 Eletroforese

4.5.1 Eletroforese em Gel de Agarose

Os polissacarídeos sulfatados obtidos da extração e purificados pela Precipitação Seletiva foram analisados por eletroforese em gel de agarose, como descrito por Dietrich e Dietrich (1976), alíquotas contendo 6µL foram aplicadas em um gel de agarose 0,5% em tampão 1,3diaminopropano /ácido acético 50mM, pH 9. O gel foi submetido a um campo elétrico de 100V, por aproximadamente 1 hora. Uma mistura de controitim sulfato, dermatam sulfato e heparina foram utilizados como padrão de GAG. Ao término da eletroforese, os polissacarídeos foram fixados no gel por incubação com uma solução de brometo de cetiltrimetilamônio 0,1%. Após 3 horas, o gel foi seco sob calor e os polissacarídeos sulfatados foram corados com azul de toluidina 0,1% e descorados em uma solução ácido acético, etanol, água destilada (0,1:5:5,v/v).

4.5.2 Eletroforese em gel de Poliacrilamida

O peso molecular do Heparam Sulfato foi eletroforese estimado por em gel poliacrilamida. Cerca de 6µL das amostras de heparam sulfato purificado foram aplicados em um gel de poliacrilamida 7,5% com 1 mm de espessura, em tampão barbital sódico 0,06 M, pH 8.6. Após corrida de 30 minutos a 100V, o gel foi corado com azul de toluidina 0,1%, em ácido acético 1% e descorado em solução de ácido acético 1%. A migração dos glicanos foi comparada com os seguintes padrões: dextram sulfato 500 (500KDa), condroitim sulfato 6-Osulfato (54KDa),condroitim sulfato 4-O-sulfato (34KDs) e dextram sulfato 8 (8KDa).

4.6 Dosagem de Ácido Hexurônico

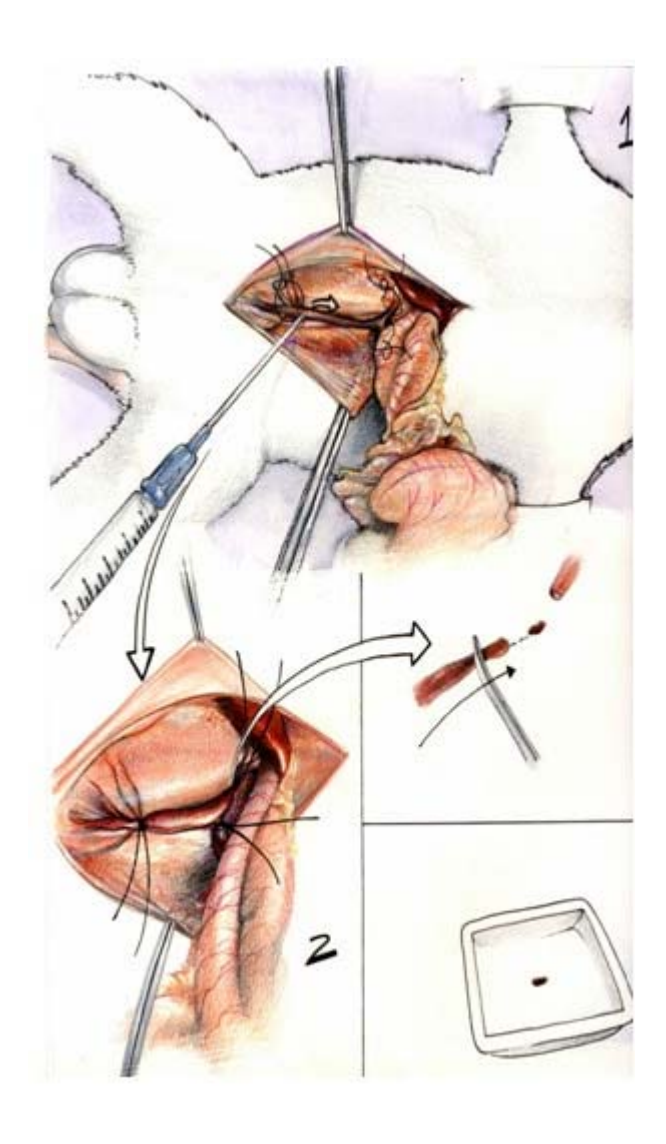
A concentração de GAGs foi estimada pelo conteúdo de ácido urônico, através do método do carbazol. Aproximadamente, 20 µg do HS purificado do molusco foram avolumados a 200 µL e acrescidos de 1 mL de ácido sulfúrico com borato e incubados a 100 °C por 12 min. Em seguida, foram adicionados 40 µL de carbazol, incubando-se a 100 °C por 10 min. Dessa forma, a absorbância foi lida com um comprimento de onda de 530 nm no espectrofotômetro(Ameisham Biosciences).

4.7 Ensaios da atividade antitrombótica no modelo venoso

4.7.1 Ensaio com Tromboplastina

A atividade antitrombótica do Heparam Sulfato em modelo experimental de trombose venosa foi investigada em ratos, usando a tromboplastina como estímulo trombogênico. Ratos Wistar (machos e fêmeas, ~200 a 250g de peso corporal) foram anestesiados com uma injeção intramuscular de Ketamina (Cristália, São Paulo, Brasil) na dose de 100 mg/kg de peso corporal e 16 mg/kg de Xilazina (Bayer AS, São Paulo, Brasil). A veia cava abdominal foi cuidadosamente isolada onde foi administração do Heparam Sulfato (HS). A dose do composto administrada é de 0,75 mg/kg, 0,50 mg/kg e 1 mg/kg e o tempo de circulação é de 5 minutos. Após o intervalo a tromboplastina (5 mg/kg de peso corporal) será injetada e um segmento (~0,8 cm) da veia cava abdominal, é suturada distal e proximal. Após 20 minutos de estase, o trombo formado no segmento ocluído é cuidadosamente lavado com salina 0,9%, seco a 60 °C durante 2 horas e pesado (Figura 4).

Figura 4. **Ilustração do modelo experimental, em ratos, de trombose venosa.** Como descrito acima, neste modelo de Wessler modificado, a trombose é induzida por um estado de estase e hipercoagulabilidade sangüínea induzida por tromboplastina



Fonte: cedida pelo Lab. Tec. Conj. prof. Mauro Pavão.

4.7.2 Ensaio de aPTT ex vivo

Ratos Wistar pesando ~300 a 400g previamente anestesiados com uma injeção intramuscular de Ketamina (Cristália, São Paulo, Brasil) na dose de 100 mg/kg de peso corporal e 16 mg/kg de Xilazina (Bayer AS, São Paulo, Brasil). A artéria carótida foi cuidadosamente dissecada e canulada com um cateter intravenoso (0,9 x 25 mm). As amostras de sangue (1000µL) foram coletadas em tubos Eppendorf com citrato e foram obtidas quatro amostras, nos tempos de 5, 15, 30 e 60 min., após a retirada da primeira amostras foi administrada 0 heparam sulfato concentrações de 1 mg/kg e 2 mg/kg, pela própria carótida. O sangue foi centrifugado por 10 minutos a 3.000 rpm para obtenção de plasma deficiente em plaquetas. No ensaio, de Tempo de Tromboplastina Parcial ativada (aPTT), 50µL de plasma e 50µL de tampão TBS

(Tris-HCI 10 mM, NaCI 150 mM, pH 7,4) são adicionados, em seguida foram acrescentados 50μL de cefalina e as amostras incubadas por 2 minutos. A reação foi disparada com 100μL de CaCl2 0,025M, em um volume final de 250μL, a 37 °C.O tempo que o plasma demorou a coagular foi medido no coagulômetro (SIGMA DIAGNOSTICS).

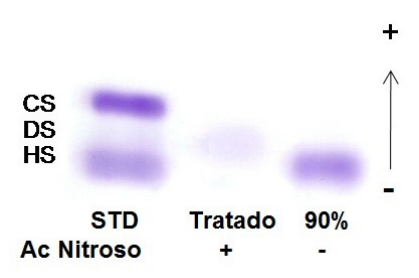
RESULTADOS E DISCUSSÃO

5.1 Isolamento e Identificação dos GAGs Presentes em *N.nodosus*

Os polissacarídeos sulfatados foram extraídos de vísceras secas aproximadamente 25g em um processo de digestão proteolítica com papaína.

Após precipitação com CPC e etanol, o pellet é solubilizado em água com um volume aproximado de 20 mL. Com o intuito de verificar quais são os polissacarídeos presente nessa extração, foi feito uma eletroforese em de agarose, apresentando uma banda migrando com as mesmas características da heparina padrão, e apresenta ainda mais duas bandas metacromaticas. Os polissacarídeos sulfatados extraídos do molusco foram submetidos a tratamentos enzimáticos com condroitinase ABC, que cliva as cadeias de condroitim sulfato e dermatam sulfato, com condroitinase AC que cliva as cadeias do condroitim sulfato. O heparam sulfato submetido ao tratamento químico com ácido nitroso em pH 1,5 por apresentar ligação glicosídica de glucosamina Nsulfatada, que são clivadas com a ação do ácido nitroso (Figura 5). Após todos os tratamentos, as amostras foram analisadas por eletroforese em gel de agarose, mostrando que banda metacromática que migra como as mesmas características que a heparina padrão, foi degradada pelo tratamento químico com ácido nitroso, indicando a presença de heparam sulfato, outras bandas as metacromáticas, que migraram entre condroitim sulfato e dermatam sulfato padrão, foram degradadas com o tratamento com condroitinase AC e ABC, demonstrando, dessa forma, que essa banda metacromática é um condroitim sulfato.

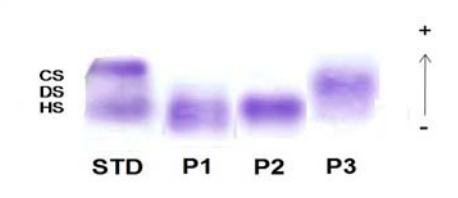
Figura 5. Eletroforese em gel de agarose dos polissacarídeos antes e depois do tratamento com ácido nitroso



5.2 Fracionamento dos Polissacarídeos Sulfatados e Caracterização Inicial do Heparinóide

Mediante a constatação da presença do condroitim sulfato e do heparam sulfato na extração de polissacarídeos do molusco, foi realizada a purificação do composto de interesse o heparam sulfato, através da precipitação seletiva, onde diferentes concentrações de adicionadas. Adicionando uma etanol são concentração de 75% de etanol precipita uma pequena concentração de heparam sulfato e um polissacarídeo não identificado (P1), para a obtenção do heparam sulfato puro é adicionado etanol na concentração de 90% (P2) e o ultimo fracionamento onde é adicionado etanol na concentração de 200%, obtém se o condroitim sulfato (P3). Após os três fracionamentos foi feito uma eletroforese em gel de agarose (Figura 6).

Figura 6. **Gel de Agarose.** Os polissacarídeos totais foram fracionados com concentrações crescentes de etanol - P1 (75%), P2 (90%) e P3 (200%) - e analisados por eletroforese em gel de agarose.



A eletroforese em gel de poliacrilamida foi feita com o intuito de obter uma caracterização e quantificar o peso molecular do heparam sulfato extraído do *N. nodosus*. Utilizando marcadores padrões de peso molecular, concluímos que o peso do heparinóide é de aproximadamente 27 KDa.

5.3 aPTT ex vivo

O HS foi avaliado em um experimento in vitro para verificar sua atividade anticoagulante. Sendo este o aPTT ex vivo, que avalia sua ação farmacodinâmica, (é a avaliação da ação fisiológica dos fármacos nos organismos, seus mecanismos de ação e a

relação entre concentração do fármaco e seu efeito). De forma simplificada, podemos considerar farmacodinâmica como o estudo do efeito da droga nos tecidos.

O HS extraído do molusco *N.nododus* foi avaliado em diferentes doses (1 mg/kg e 2 mg/kg). Desta forma, foi constatado que o HS do *N.nodosus* aumenta, de forma dosedependente, o tempo de coagulação do plasma do rato.

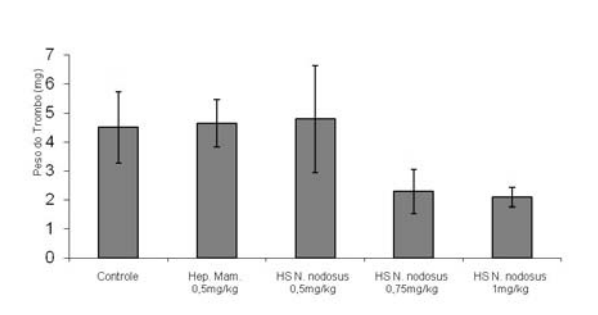
5.4 Efeito antitrombótico do Heparam Sulfato do *N.nodosus*

Verificado o efeito anticoagulante do HS do *N.nodosus* o próximo passo foi verificar se o composto apresentaria capacidade de inibir a formação de trombo *in vivo*. Para constatar, utilizamos um modelo de trombose venosa. Neste modelo, o estímulo trombótico usado foi a tromboplastina, que apresenta à circulação sanguínea o TF disparando a cascata de coagulação.

O HS foi administrado por via intravenosa (veia cava abdominal), após 5 minutos foi dado o estímulo trombótico com tromboplastina. Com isso, pode-se observar que o HS apresenta efeito antitrombótico de forma dose-dependente (Figura 7). Na dose de 0,75 mg/kg e de 1 mg/kg, o HS inibiu aproximadamente 50%, o tamanho do trombo em relação ao do controle.

Figura 7. **Efeito antitrombótico** *in vivo* do **HS** do **N.nodosus.** O HS foi administrado nas doses indicadas.

Trombose Venosa



Após, 5 min a ação trombótica foi iniciada pela injeção da tromboplastina. No mínimo, 5 animais foram usados por dose.

CONCLUSÃO

O Heparam sulfato extraído do molusco *N. nodosus* possui uma atividade antitrombótica considerável nas doses de 0,75 mg/kg e 1 mg/kg , no modelo venoso.

- O Heparam sulfato extraído do molusco *N. nodosus* apresenta uma função anticoagulante, em modelo ex vivo, como mostrado no aPTT.
- A ação antitrombótica e anticoagulante do HS de *N. nodosus*
- permanecem vinculadas quando analisadas pelo modelo de trombose venosa.
- O presente estudo contribui de forma significativa para o desenvolvimento de novos compostos antitrombóticos e anticoagulantes que não apresentam muitos efeitos colaterais e que atuem de maneira efetiva nas diversas

REFERÊNCIAS

- AHMAD, S.S., RAWAALA-SHEIKH, R., WALSH P.N., Components and assembly of the factor X activating complex. **Semin. Thromb. Haemost.** v. 18, p.311-323, 1992.
- AMERICAN HEART ASSOCIATION HEART DISEASE AND STROKE STATISTICS UPDATE. **Dallas, Texas:** p.26, 2009.
- ANREWS, R.K, SHEN, Y., GARDINER, E.E., DONG, J.F., LÓPEZ, J.A., BERNDT, M.C., -The glycoprotein lb-IX-V complex in platelet adhsion and signaling. **Thromb. Haemost**. v. 82, p. 357-364, 1991.
- BERTINA, R.M., KOELEMAN, B. P. C., KOOSTER, T., ROSENDAAL, F. R., DIRVEN, R.J., DERONDE, H., Mutation in blood coagulation factor V associated with resistance to activated protein C. **Nature**. v.369, p. 64-67, 1994.
- BEVERS, E. M., COMFURIUS, P., ZWAAL, R. F., -Changes in membrane phospholipid distribution during platelet ativation. **Biochim. Biophys. Acta** v.736, p.57-66, 1983.
- BOURIN, M.C., LINDAHL, U., Glycosaminoglycans and the regulation of blood coagulation. **Biochemical Journal**. v. 289, p. 313-330, 1993.
- BRASS, L.F., Molecular basic for platelet activation. **Hematology: basic principles and practice, Churchill Livingstone Inc.**, New York, USA, p. 1536-1551,1995.
- BUENO, R. S., MARQUES, H. L. A., ROMA, R. P. C. R., Crescimento e sobrevivência da vieira *Nodipecten nodosus* (Linnaeus, 1758), (Mollusca: Pectinidae) em diferentes estruturas de cultivo na Praia Grande do Bonete, Ubatuba, Estado de São Paulo. **Biotemas**. v. 23 (1), p. 121-130, 2010.

- CASU, B., Heparin: Chemical and Biological Properties, Clinical Applications, Ed: D. A. Lane and U. Lindahl, CRC Press, Inc., Boca Raton, FL, p. 25, 1989.
- CECHOWSKA-PASKO, M., PALKA, J., Age-dependent changes in glycosaminoglycans contet in the skin of fasted rats: a possible mechanism. **Exp Toxicol Pathol.** v. 52, p. 127-31, 2000.
- CECHOWSKA-PASKO, M., PALKA J., BANKOW, S. E., Decreased in glycosaminoglycans content in the skin of diabetic rats: the role of IGI-I, IGFbinding proteins and proteolytic activity. **Mol Cell Biochem**. v. 154, p. 1-8, 1996.
- CONRAD, H. E., Heparin Binding Proteins. **Ed. Academic Press**, San Diego, CA, 1998.
- DAVID, E.W., FUJIKAWA, K., KISIEL, W., The coagulation cascate: initiation, maintenance and regulation. **Biochemistry** v.30, p.10363-10370, 1991.
- DAVIE E. W., RATNOFF O. D., Waterfall sequence for intrinsic blood clotting. **Science v. 145**, p. 1310-1312, 1964.
- DAY, T. K., Variability of heparin levels and bleeding with low-dose heparin prophylaxis following transurethral resection of the prostate. **JR Soc Med.** v. 78(2), p.109-11, 1985.
- DREYFUSS, J. L., REGATIERI, C. V., JARROUGE, T. R., CAVALHEIRO, R. P., SAMPAIO, L. O., NADER, H. B., Heparan sulfate proteoglycans: structure, protein interactions and cell signaling. **Annals of the Brazilian Academy of Sciences** v.81: p. 409-429, 2009.
- ERWIN A. V., CHRISTOPHER A., SIEDLECKI, Contact activation of bloodplasma coagulation. **Biomaterials**. v. 30, p. 1857–1869, 2009.
- FRANCO R.F., Overview of coagulation, anticoagulation and fibrinolysis. **Medicina, Ribeirão Preto,** v. 34, p. 229-237, 2001.
- FREEDMAN, J.E., LOSCALZO, J., Nitric oxide and its relationship to thrombotic disorders. **J Thromb Haemost**, v. 1, p. 1183-8, 2003.
- FURIE. B., FURIE, B. C., *In vivo* thrombus formation. **Journal of Thrombosis and Haemostasis.** v. 5, p.12–17, 2007.

- GAILANI, D., BROZE, G.J., Factor XI activation by thrombin and factor XIa. **Seminars in Thrombosis and Hemostasis** *v.* 19, p 396–404, 1993.
- GOMES, A. M., Caracterização estrutural e propriedades anticoagulantes do heparam sulfato do molusco *Nodipecten nodosus*. **Tese de Mestrado, Instituto de Bioquímica Médica, Universidade Federal do Rio de Janeiro,** 2010.
- GOMES A. M., KOZLOWSKI E. O., POMIN V. H., BARROS C. M., ZAGANELI J.L., PAVÃO M. S. G., Unique Extracellular Matrix Heparan Sulfate from the Bivalve *Nodipecten nodosus* (Linnaeus, 1758) Safely Inhibits Arterial Thrombosis after Photochemically Induced Endothelial Lesion. **JOURNAL OF BIOLOGICAL CHEMISTRY.** v. 285, n. 10, 2010.
- GUERRINI, M., BECCATI, D., SHIHVER, Z., NAGGI, A., VISWANATHAN, K., BISIO, A., CAPILA, I., LANSING, J. C., GUGLIERI ,S., FRASER, B., AI-HAKIM,A., GUNAY, N. S., ZHANG, Z., ROBINSON, L., BUHSE, L., NASR, M., WOODCOCK, J., LANGER, R., VENKATARAMAN, G., LINHARDT ,R. J., CASU, B., TORRI, G., SASISEKHARAN, R., Oversulfated chondroitin sulfate is a contaminant in heparin associated with adverse clinical events. **Nature Biotechnology** v.26: p.669-675, 2008.
- HASCALL, V. C., RIOLO, R. L., Chacteristics of protein-Keratan sulfate core and of Keratan sulfate prepared from bovine nasal cartilage proteogycan **J.Biol.Chem.** v. 247, p. 4529-38, 1972.
- IHRCKE, N. S., WRENSHALL, L. E., LINDMAN, B. J., Role of heparan sulfate in immune system-blood vessel interactions. **Immunol**. p.500-505, 1993.
- JAQUES, L. B.; MAHADOO, J., Pharmacodynamics and clinical effectiveness of heparins. **Semin. Thromb. Hemost.,** v.4, p.298-325, 1978.
- JEANLOZ, R. W., The nomenclature of mucopolisaccharides. **Arthitis Rheum**.v.3, p.233-237, 1960.
- JIN-PING L., ISRAEL V.,- Heparin, heparan sulfate and heparanase in inflammatory reactions. **Thromb Haemost.** v. 102, p. 823–828, 2009.
- KENICHI, A. T., NIGEL, S. K., JERROLD, H. L. **Blood** Coagulation: Hemostasis and Thrombin

- Regulation. International Anesthesia Research Society. v. 108, n. 5, 2009.
- Τ. VISWANATHAN, KISHIMOTO. K., GANGULY, T., ELANKUMARAN, S., SMITH, S., C., LANSING, PELZER, K., J. SRIRANGANATHAN, N., ZHAO. G., GALCHEVA-GARZOVA, Z., AI-HAKIM, Α., BAILEY, G. S., FRASER, B., ROY, S., ROGERS-COTRONE, T., BUHSE, L., WHARY, M., FOX, J., NASR, M., DAL PAN, G.J., SHIRIVER, LANGER, R. S., VENKATARAMAN, G., AUSTEN, K. F., WOODCOCK, J., SASISEKHARAN, R., Contaminated heparin associated with adverse clinical events activation of the contact system. The New England Journal of Medicine v. 358, p. 2457-2467, 2008.
- LIAW, P. C. Y., AUSTIN, C. R., FREDENBURGH, J. C., STAFFORD, A. R., WEITZ, J. I., Comparison of heparin- and dermatam sulfate-mediate catalysis of thrombin inactivation by heparin cofator II. **The Journal of. Biological Chemistry** v. 274:p. 27597-27604, 1999.
- LI HE, TUSAR K. G., CRISTINA P. V., DOUGLAS M. T.,- Vascular dermatan sulfate regulates the antithrombotic activity of heparin cofactor II. **Hemostasis, thrombosis, and vascular biology.** v. 111, n. 8, p. 4118-4125, 2008.
- LINDAHL, U. Biosyntesis of heparin and related polysaccharides Chemical and Biological Properties, **Cl inical appl ications**, CRC Press Inc, Florida, p.159-89, 1989.
- LINHADT, R. G., TOIDA, WITZAR, Z. B., NIEFORT K. A., T.Carbohydrates drugs heparin oligossacarides new analogs development and applications. **Marcel Dekker**: New York., p.707-774, 1997.
- LLOYD-JONES, D., ADAMS, R.J., BROWN, T.M., CARNETHON, M., DAI, G., DE SIMONE, G., FERGUSON, T.B., FORD, E., FURIE, GILLESPIE, H., GO, A., GREENLUND, HAASE, N., HAILPERN, S., HO, P.M., HOWARD, V., KISSELA, B., KITTNER, S., LACKLAND, D., LISABETH, L., MARLLI, A., MCDERMONT, MEIGS,J., MOZAFFARIAN. M.M.. D.. MUSSOLINO, M., NICHOL,.G., ROGER, ٧.. ROSAMMOND W., SACCO, R., SORLIE, P., STAFFORD, R., THOM, T., WASSERTHIEL-SMOLLER, S., WONG, N.D., WYLIE-ROSETT, J., - Heart Disease and Stroke Statistics. A

- Report From the American Heart Association. Circulation v. 121, p. 1-170, 2010.
- LOPES, C. C., DIETRICH, C. P., NADER, H. B., Specific structural features of syndecans and heparan sulfate chains are needed for cell signaling. **Braz J Med Biol Res**. v. 39, p. 157-67, 2006.
- MACFARLANE R.G., An enzyme cascade in the blood clotting mechanism, and its function as a biochemical amplifier. **Nature** v. 202, p. 498-499, 1964.
- MACKMAN, N., Triggers, targets and treatments for thrombosis. **Nature**. v. 451: p. 914-918, 2008.
- MACKMAN, N., TILLEY, R. E., KEY, N.S., Role of the Extrinsic Pathway of Blood Coagulation in Hemostasis and Thrombosis. **Arteriosclerosis, Thrombosis, and Vascular Biology.** v.27: p.1687-1693, 2007.
- MONROE, D. M., HOFFMAN, M., ROBERTS, H. R., Arterioscler. **Thromb. Vasc. Biol.** v. 22, p. 1381, 2002.
- OLIVERCRONA, T., BENGTSSON, O. G., Heparin and lipases. In Lane, D.A.; Linsdahl. V.: **Heparin. Chemical and Biological properties, Clinical Applications**. C.R.C. Press, Boca Raton, 1989.
- PLOW, E.F., GINSBERG, M.H., HOFFMAN, R., BENZ, E.J.,JR., SHATTIL,S. J., FURIE, B., COHEN, H.J. SILBERSTEIN, L.E. Molecular basis of platelet function.Hematology.Basic principles and practice, **Churchill Livingstone** Inc, New Yourk, p.1524-1535, 1995.
- QUEIROZ, C. R., Técnica de produção de coquille, *nodipecten nodosus,* (linnaeus, 1758) no laboratório do terminal de minério da empresa mbr mangaratiba RJ. **Universidade Castelo Branco**. p. 1-12, 2005.
- RABENSTEIN, D.L., Heparin and heparan sulfate: structure and function. **Natural Product Reports**.v.19: p. 312-331, 2002.
- ROBERT W. C., Are hemostasis and thrombosis two sides of the same coin?. **The Journal of Experimental Medicine.** v. 203, n. 3, p.493–495, 2006.
- ROCKVILLE, M. D., Acute allergic-type reactions among patients undergoing hemodialysis multiple states, 2007–2008. Information on adverse event reports and heparin.

- Morbidity and Mortality Weekly Report. v. 57, p. 124-125, 2008.
- ROSENBERG, R. D., Biologic action of heparin. **Semin Hematol**. v.14 (4): p. 427-40, 1977.
- SAKARIASSEN, K. S., BOLHUIS, P. A., SIXMA, J. J., Human blood platelet adhesion to artery subendothelium is mediated by factor VIII-Von Willebrand factor bound to the subendothelium. **Nature.** v. 279, p. 636–638, 1979.
- SASISEKHARAN, R., RANAN, R., PRABHAKAR V., Glycomics Approach to Structure-Function Relationships of Glycosaminoglycans. The Annual Review of Biomedical Engineering v. 8, p. 181–231, 2006.
- SEGERS, K., DAHLBACK, B., NICOLAES, G. A., Coagulation factor V and thrombophilia: background and mechanisms. **Thrombosis and Haemostasis.** v. 98: p.530 –542, 2007.
- SELTZER, J. L.; GERSON, J. I. Decrease in arterial pressure following heparin injection prior to cardiopulmonary bypass. **Acta Anaesth.** Scand. v.23: p. 575-578, 1979.
- Suresh V., Deep Venous Thrombosis:The Opportunity at Hand. **Vascular and interventional radiology. v.** 193, p. 922–927, 2009.
- TURNBULL J, POWELL A, GUIMOND S., Heparan sulfate: decoding a dynamic multifunctional cell regulator. **Trends Cell. Biol**. v.11, p. 75-82, 2001.
- VIRCHOW, R., Gesammelte Abhandlungen zur Wissenschaftlichen Medizin. **Meidinger, Frankfurt**, 1856.
- WALLACE, J. L., Nitric oxide as a regulator of inflammatory processes. **Mem Inst Oswaldo Cruz,** v. 100, supl. 1, 2005.
- WATSON, S.P., Coallagen recptors sinaling in platelets and megakaryocutes. **Thromb. Haemost**. v.82: p.365-376, 1999.
- WEITZ, J.I., Low-molecular-weight heparins. **The New England Journal of Medicine** v.337:p. 688-98, 1997.
- WODARZ, A, NUSSER, R., Mechanisms of Wnt signaling in development. **Ann. Rev. Cell. Dev. Biol.**, v.14: p. 59-88, 1998.

